

30/4/2014

①

Classificazione delle coniche proiettive:

Sia $\mathcal{P} = \{ [x] \in \mathbb{P}^n(\mathbb{R}) \mid {}^t x \cdot A \cdot x = 0 \}$,
dove A è simmetrica, reale, $(n+1) \times (n+1)$
con $\det A \neq 0$.

Se facciamo un cambio di coordinate
proiettive: $[x'] = [M \cdot x]$, l'equazione
 ${}^t x' \cdot A \cdot x' = 0$ equivale
a

$${}^t x \cdot {}^t M \cdot A \cdot M \cdot x = 0$$

nelle nuove coordinate. Per il teorema
spettrale, possiamo scegliere M ortogonale
tale che ${}^t M A M = \begin{pmatrix} \lambda_1 & & 0 \\ & \ddots & \\ 0 & & \lambda_{n+1} \end{pmatrix}$.

L'ulteriore cambio di coordinate

$$x'_j = \sqrt{|\lambda_j|} \cdot x_j, \quad j = 1, \dots, n+1$$

riduce A ad una forma diagonale
con ± 1 sulla diagonale principale.

Infine, a meno di permutare le coordina-
te e cambiare il segno all'equazione,
questa si può ridurre a

$$x_1^2 + \dots + x_p^2 - x_{p+1}^2 - \dots - x_{n+1}^2 = 0, \quad p \geq n+1-p.$$

Abbiamo dimostrato:

(2)

Teorema: A meno di cambiamenti proiettivi di coordinate,

$$\left\{ \begin{array}{l} {}^t x \cdot A \cdot x = 0 \\ \det A \neq 0 \end{array} \right\} = \left\{ x_1^2 + \dots + x_p^2 = x_{p+1}^2 + \dots + x_{n+1}^2 \right\},$$

$p \geq n+1-p \quad \square$

Caso di $\mathbb{P}^2(\mathbb{R})$: in opportune coordinate proiettive, ogni conica non degenera è data da una delle equazioni:

$$x^2 + y^2 + z^2 = 0, \quad x^2 + y^2 = z^2$$

ϕ

\Rightarrow i completamenti proiettivi delle coniche affini ellisse, iperbole e parabole sono tutte date, in opportune coordinate, dalla stessa equazione $x^2 + y^2 = z^2$ e quindi coincidono a meno di cambiamenti di coordinate proiettive.

Per l'ellisse lo sappiamo già:

$$x^2 + y^2 = 1 \quad \longrightarrow \quad x^2 + y^2 = z^2$$

Iperbole: $x^2 - y^2 = z^2$

Il cambiamento $[x: y: z] \mapsto [z: x: y]$ trasforma l'equazione in forma standard.

Parabole : $x^2 = yz$ (3)

Il cambiamento di coordinate

$$[x; y; z] \mapsto [x; z-y; z+y]$$

trasforma l'equazione in forme standard.

Sia ora $L \subset \mathbb{R}^2$ la conica affine

$$\text{data da } {}^t \begin{pmatrix} x \\ y \\ 1 \end{pmatrix} \cdot A \cdot \begin{pmatrix} x \\ y \\ 1 \end{pmatrix} = 0,$$

con $A \in M_{3 \times 3}(\mathbb{R})$, simmetrica, $\det(A) \neq 0$.

Un cambiamento di coordinate affini
è dato dalla moltiplicazione per

$$M = \begin{pmatrix} B & v \\ 0 & 1 \end{pmatrix}, \text{ con } \det B \neq 0:$$

$$\begin{pmatrix} x \\ y \\ 1 \end{pmatrix} \mapsto M \cdot \begin{pmatrix} x \\ y \\ 1 \end{pmatrix} = \begin{pmatrix} B \begin{pmatrix} x \\ y \end{pmatrix} + v \\ 1 \end{pmatrix}.$$

La matrice associata all'equazione
risultante del cambiamento di coordinate
diventa:

$$\begin{aligned} {}^t M A M &= \begin{pmatrix} {}^t B & 0 \\ {}^t v & 1 \end{pmatrix} \begin{pmatrix} Q & e \\ {}^t e & c \end{pmatrix} \begin{pmatrix} B & v \\ 0 & 1 \end{pmatrix} = \\ &= \begin{pmatrix} {}^t B Q & {}^t B e \\ {}^t v Q + {}^t e & {}^t v e + c \end{pmatrix} \begin{pmatrix} B & v \\ 0 & 1 \end{pmatrix} = \begin{pmatrix} {}^t B Q B & {}^t B(Qv + e) \\ ({}^t v Q + {}^t e) B & \langle v|v \rangle + 2\langle v|e \rangle \\ & Q + c \end{pmatrix} \end{aligned}$$

Sia $d_j(A) :=$ determinante della sottomatrice $\textcircled{4}$
di A data dalle prime j righe e colonne.

Consideriamo i casi:

- (1) Autovalori di A concordi tra loro
- (2) Autov. di \mathbb{Q} concordi, ma non quelli di A
- (3) Autovalori di \mathbb{Q} discordi.
- (4) \mathbb{Q} singolare

Affermazione: A rientra in uno dei quattro
casi, e tMAM rientra nello stesso caso
per ogni M .

La seconda parte segue dal fatto che il
numero di autovalori positivi (risp. te negativi)
di A coincide con la dimensione massima
di un s.s. $W \subset \mathbb{R}^3$ t.c. $\langle w | w \rangle_A > 0$ (risp. te < 0)
 $\forall w \in W \setminus \{0\}$. Poiché $\langle w | w \rangle_{{}^tMAM} = \langle Mw | Mw \rangle_A$
ed M è invertibile, questo numero è lo stesso
per A e per tMAM .

Scegliendo M con $\sigma = 0$ ed eventualmente
cambiando segno all'equazione ci si può

ricondurre ai casi: (A) $Q = \begin{pmatrix} 1 & 0 \\ 0 & 1 \end{pmatrix}$,

(B) $Q = \begin{pmatrix} 1 & 0 \\ 0 & -1 \end{pmatrix}$, $d_3 > 0$; (C) $Q = \begin{pmatrix} 1 & 0 \\ 0 & 0 \end{pmatrix}$

[Osservando che $\det A \neq 0 \Rightarrow Q \neq \begin{pmatrix} 0 & 0 \\ 0 & 0 \end{pmatrix}$]

A seconda del segno di c , il caso (A)
diventa (1) o (2).

Modelli affini delle quadriche:

(6)

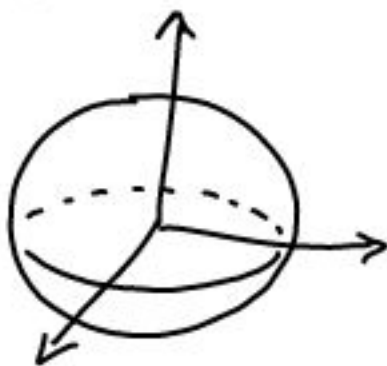
Quadrica non degenera:

$${}^t \begin{pmatrix} x \\ y \\ z \\ 1 \end{pmatrix} \cdot A \cdot \begin{pmatrix} x \\ y \\ z \\ 1 \end{pmatrix} = 0,$$

$$A \in M_{4 \times 4}(\mathbb{R}), \quad A = {}^t A, \quad \det(A) \neq 0$$

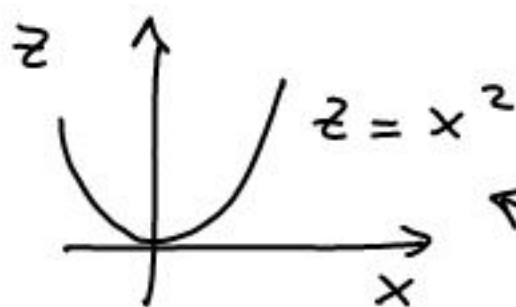
$$x^2 + y^2 + z^2 + 1 = 0 \quad \text{insieme vuoto}$$

$$x^2 + y^2 + z^2 = 1 \quad \text{ellissoide}$$



$$z = x^2 + y^2$$

paraboloidoide ellittico



si ottiene per rotazione
della parabola,

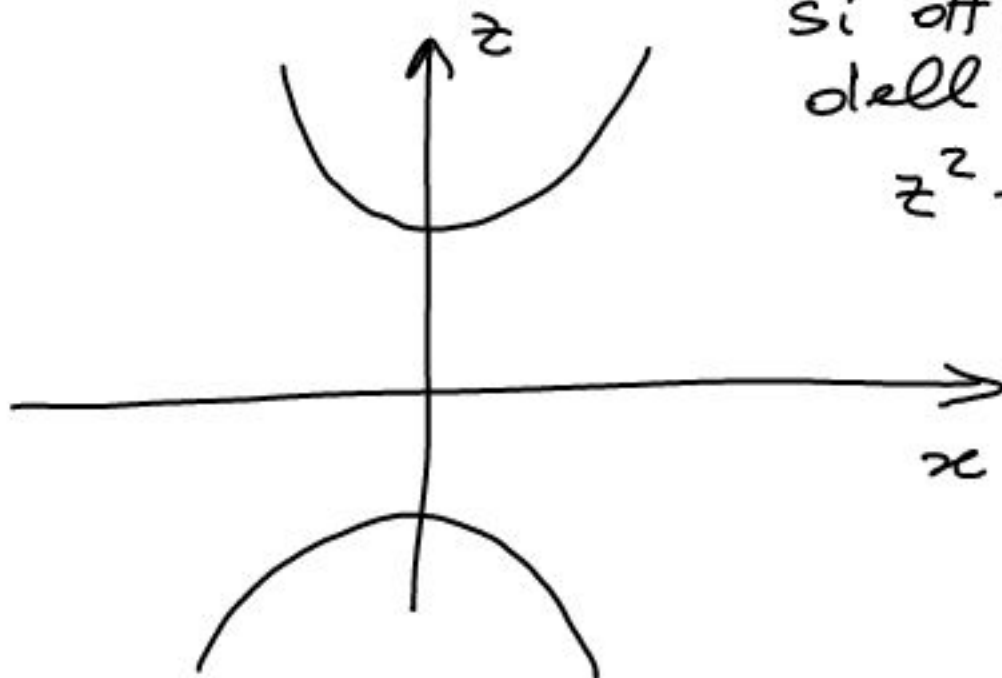
intorno all'asse z.

$$x^2 + y^2 = z^2 - 1$$

iperboloidoide ellittico

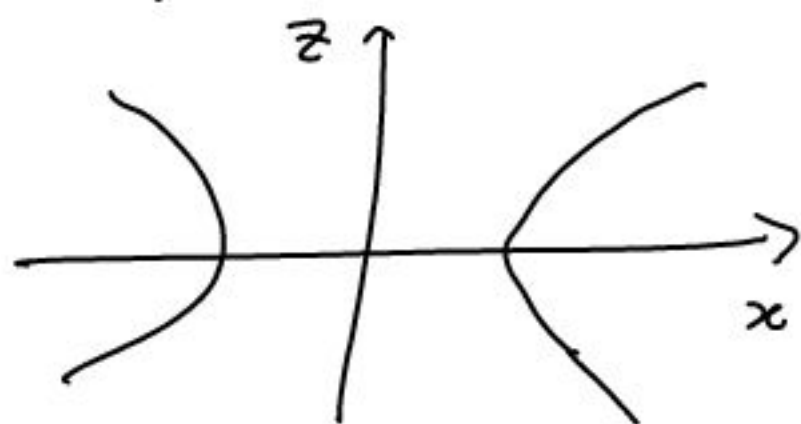
si ottiene per rotazione
dell'iperbole

$$z^2 - x^2 = 1$$



$$x^2 + y^2 = z^2 + 1 \quad \text{iperboloido iperbolico } \textcircled{7}$$

si ottiene per rotazione dell'iperbole:



$$x^2 - z^2 = 1$$

L'intersezione col piano $y = 1$ è l'unione

$$\text{di due rette: } \begin{cases} x = z \\ y = 1 \end{cases} \text{ e } \begin{cases} x = -z \\ y = 1 \end{cases}$$

Fatto notevole: facendo ruotare una qualunque delle due rette intorno all'asse z si ottiene l'intera superficie!

$$z = x^2 - y^2 \quad \text{paraboloido iperbolico} \\ \text{o a sella}$$

È unione delle iperboli $\begin{cases} z = k \\ x^2 - y^2 = k \end{cases}, k \in \mathbb{R}$

delle parabole $\begin{cases} y = k \\ z = x^2 - k \end{cases}, k \in \mathbb{R}$

e delle rette $\begin{cases} x + y = k \\ z = k(x - y) \end{cases}$ e $\begin{cases} x - y = k \\ z = k(x + y) \end{cases}, k \in \mathbb{R}$

Punti all'∞ in $\mathbb{P}^3(\mathbb{R})$:

(8)

Ellissoide: $x^2 + y^2 + z^2 = 1 \rightarrow \begin{cases} x^2 + y^2 + z^2 = u^2 \\ u = 0 \end{cases} \phi$

Iperboloidi ellittico: $x^2 + y^2 = z^2 - 1 \rightarrow \begin{cases} x^2 + y^2 = z^2 - u^2 \\ u = 0 \end{cases} : \mathcal{C} \subset \mathbb{P}^2(\mathbb{R})$
conica

Iperboloidi iperbolico: $x^2 + y^2 = z^2 + 1 \rightarrow \begin{cases} x^2 + y^2 = z^2 + u^2 \\ u = 0 \end{cases} : \mathcal{C} \subset \mathbb{P}^2(\mathbb{R})$
conica

Paraboloidi ellittico: $z = x^2 + y^2 \rightarrow \begin{cases} zu = x^2 + y^2 \\ u = 0 \end{cases} : \text{il punto } [0:0:1:0]$

Paraboloidi iperbolico: $z = x^2 - y^2 \rightarrow \begin{cases} zu = x^2 - y^2 \\ u = 0 \end{cases} : \text{le due rette } \begin{cases} [1:1:\lambda:0] \\ [1:-1:\lambda:0] \end{cases}$

Infine: sappiamo che, a meno di cambiamenti di coordinate proiettive, in $\mathbb{P}^3(\mathbb{R})$ esistono 2 quadriche non vuote:

$x^2 + y^2 + z^2 = u^2$ e $x^2 + y^2 = z^2 + u^2$

ellissoide proiettivo

iperboloidi proiettivo

↑
complemento proiettivo di ellissoide, paraboloidi ellittico e iperboloidi ellittico

↑
complemento proiettivo di iperboloidi iperbolico e

↑
Origine per ellissoide e iperboloidi

Per i paraboloidi: cambio di variabili $\begin{cases} z = w - v \\ u = w + v \end{cases}$